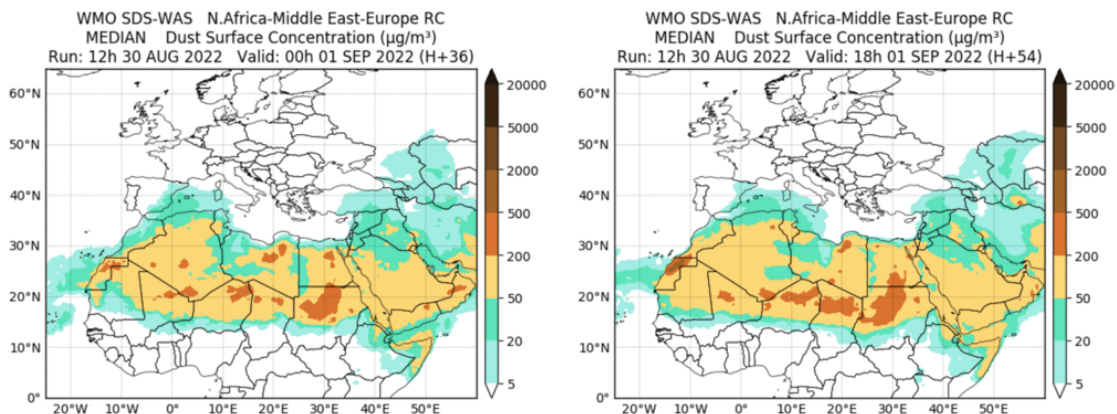


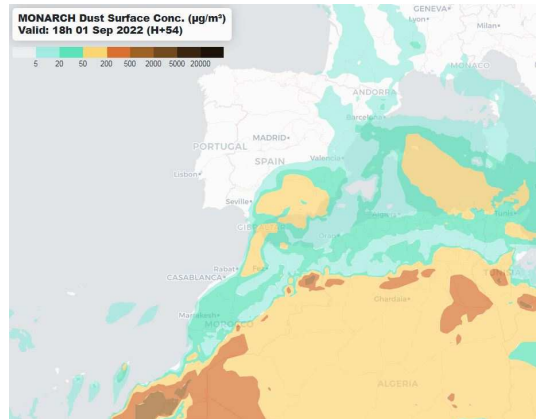
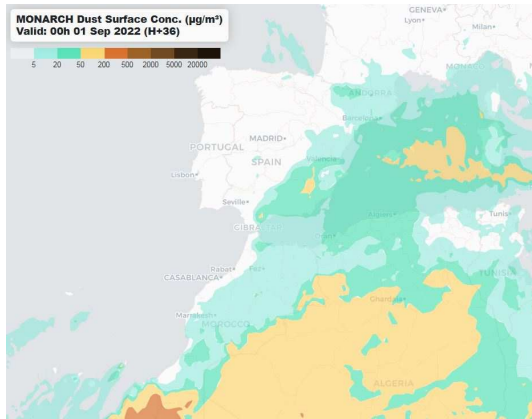
## Predicción de intrusión de masas de aire africano sobre España, para el día 01 de septiembre de 2022

Durante el próximo día 01 de septiembre se prevé que se produzca un desplazamiento hacia el E-SE de las masas de aire africanas presentes sobre zonas de la península ibérica y los archipiélagos Balear y Canario, por efecto de los flujos de viento atlánticos generados por diversos centros de bajas presiones localizados al NO de la península. Pese a ello es previsible que durante todo el día, aún se puedan registrar niveles de concentración de polvo en el rango 5-200  $\mu\text{g}/\text{m}^3$  en zonas del SE y del E peninsular, en el rango 5-50  $\mu\text{g}/\text{m}^3$  en zonas del NE peninsular y en el rango 5-80  $\mu\text{g}/\text{m}^3$  en zonas de las islas Canarias y de las islas Baleares. En cualquier caso parece que la tendencia generalizada es que los niveles de polvo tiendan a reducirse gradualmente en todas las zonas mencionadas. Además a partir del mediodía se podrá producir depósito seco de polvo en zonas del SE, SO y E peninsular y del archipiélago canario.

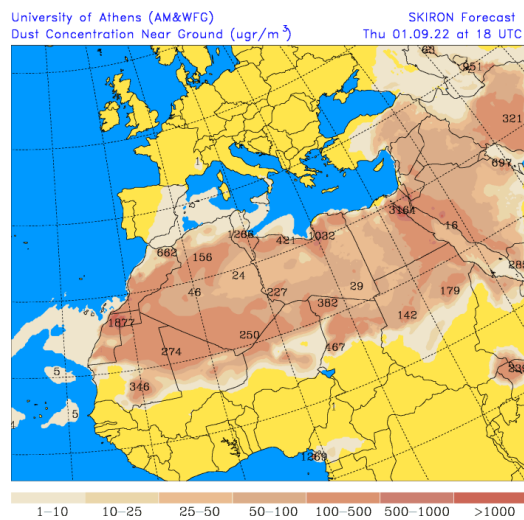
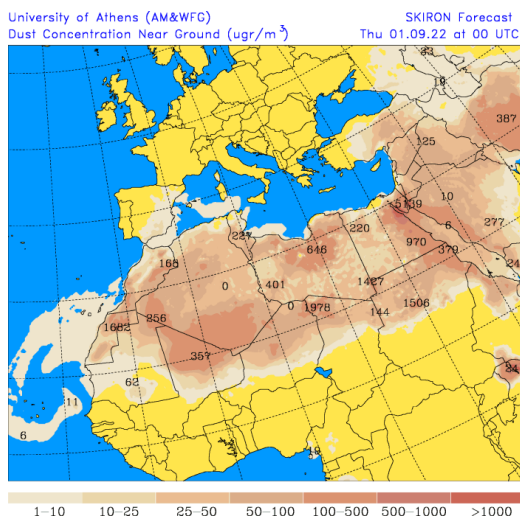
### 01 de septiembre de 2022



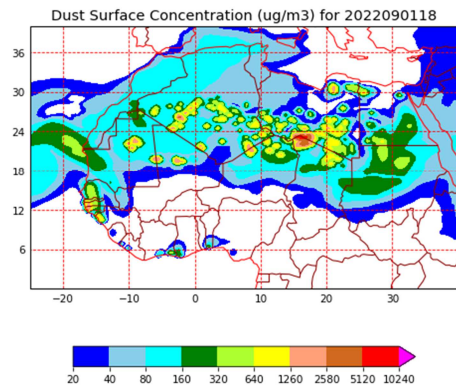
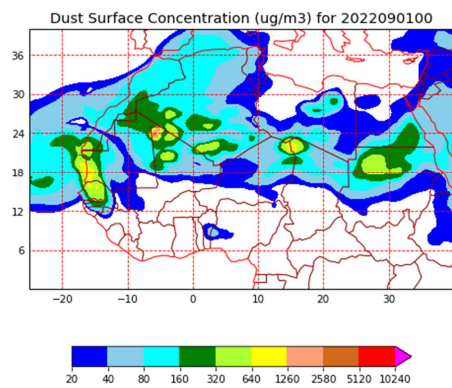
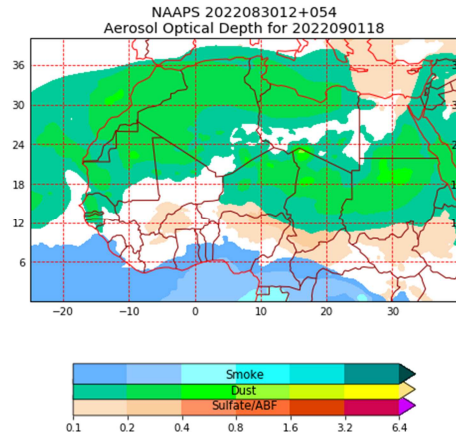
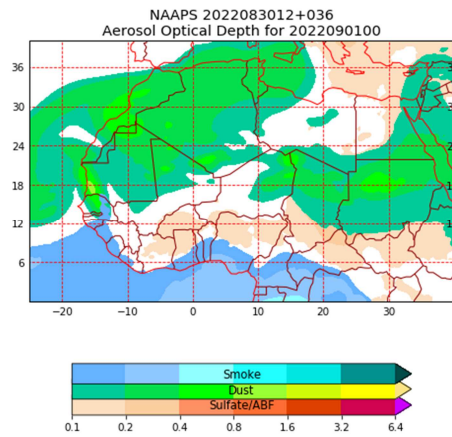
Resultados de la comparación de múltiples modelos de predicción de concentración de polvo (mediana en  $\mu\text{g}/\text{m}^3$ ) para el día 01 de septiembre de 2022 a las 00h UTC (izquierda) y a las 18h UTC (derecha). Sand and Dust Storm Warning Advisory and Assessment System Regional Center for Northern Africa, Middle East and Europe (SDS-WAS NAMEE RC; <http://sds-was.aemet.es>), gestionado conjuntamente por la Agencia Estatal de Meteorología (AEMET; <http://www.aemet.es/>) y Barcelona Supercomputing Center (BSC, <https://www.bsc.es/>).



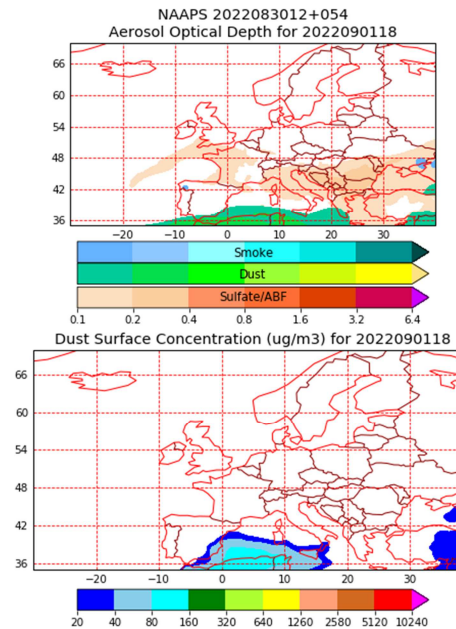
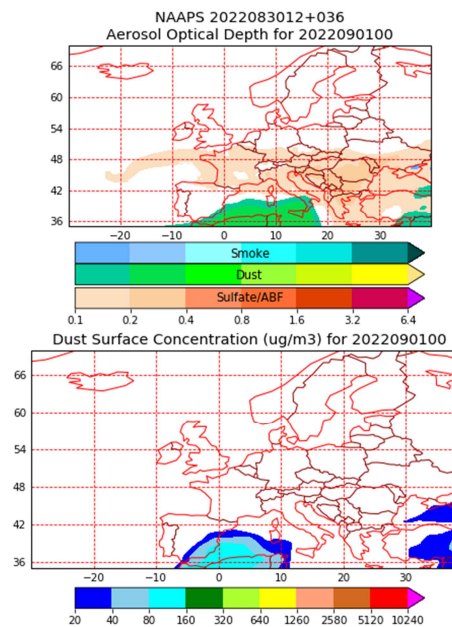
Concentración de polvo ( $\mu\text{g}/\text{m}^3$ ) predicha por el modelo MONARCH para el día 01 de septiembre de 2022 a las 00 (izquierda) y a las 18 UTC (derecha). © Barcelona Supercomputing Center.



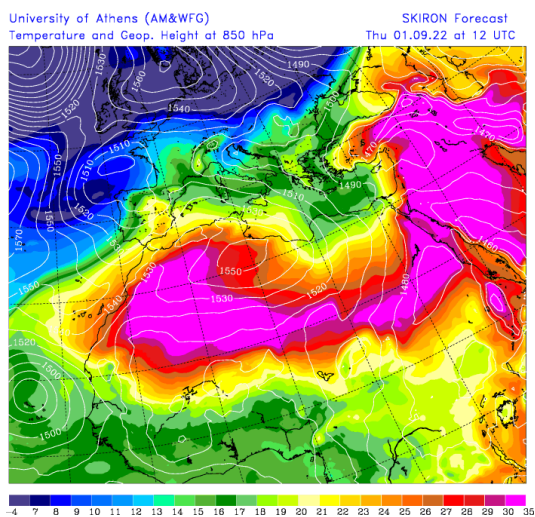
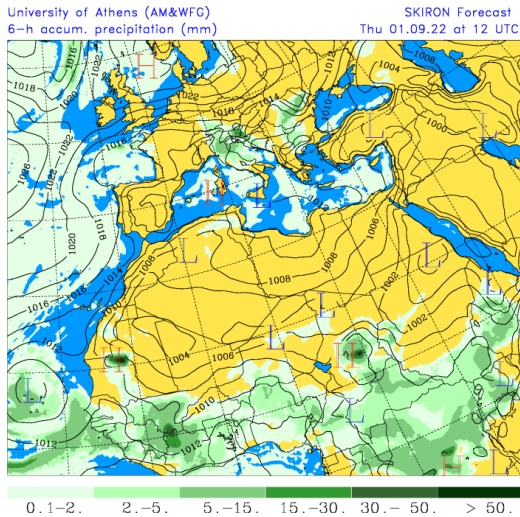
Concentración de polvo ( $\mu\text{g}/\text{m}^3$ ) predicha por el modelo Skiron para el día 01 de septiembre de 2022 a las 00 (izquierda) y a las 18 UTC (derecha). © Universidad de Atenas.



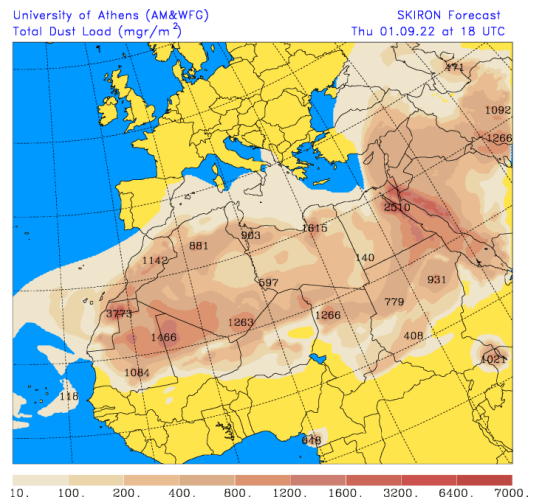
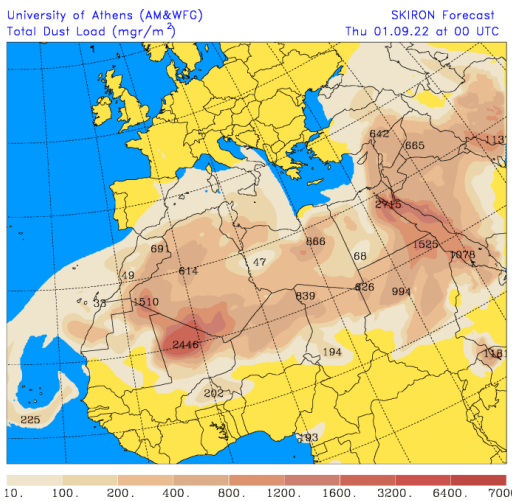
Espesor óptico de aerosoles a 550 nm (arriba) y concentración de polvo a nivel de superficie (abajo) previstos por el modelo NAAPS para el día 01 de septiembre de 2022 a las 00 UTC (izquierda) y a las 18 UTC (derecha) en el norte de África. ©Naval Research Laboratory (NRL), Monterey, CA.



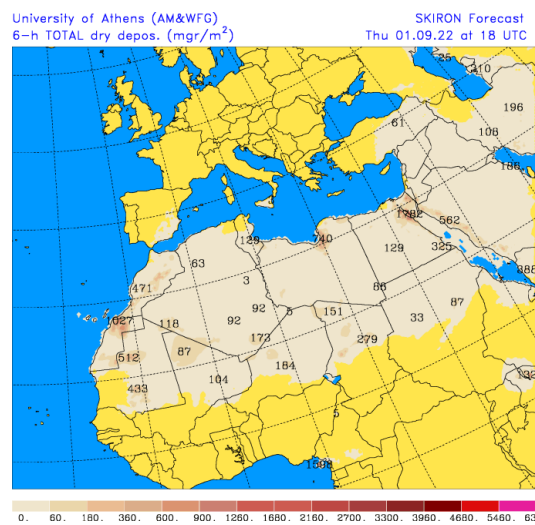
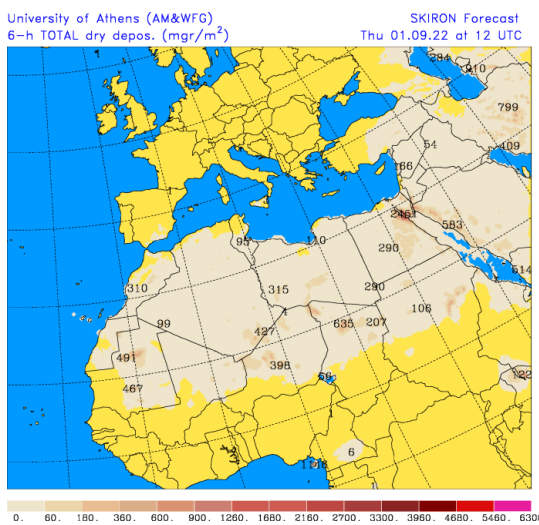
Espesor óptico de aerosoles a 550 nm (arriba) y concentración de polvo a nivel de superficie (abajo) previstos por el modelo NAAPS para el día 01 de septiembre de 2022 a las 00 UTC (izquierda) y a las 18 UTC (derecha) en Europa. ©Naval Research Laboratory (NRL), Monterey, CA.



Campo de presión a nivel del mar (mb) y de precipitación (mm) (izquierda) y de temperaturas (°C) y de altura de geopotencial (m) a 850 hPa (derecha) previsto por el modelo Skiron para el día 01 de septiembre de 2022 a las 12 UTC. © Universidad de Atenas.



Carga total de polvo ( $\text{mgr}/\text{m}^2$ ) predicha por el modelo Skiron para el día 01 de septiembre de 2022 a las 00 (izquierda) y a las 18 UTC (derecha). © Universidad de Atenas.



Depósito seco de polvo ( $\text{mg}/\text{m}^2$ ) predicho por el modelo SKIRON para el día 01 de septiembre de 2022 a las 12 UTC (izquierda) y a las 18 UTC (derecha). © Universidad de Atenas.

---

Fecha de elaboración de la predicción: 31 de agosto de 2022

Predicción elaborada por Pedro Salvador (CIEMAT)

Los datos son propiedad de la Dirección General de Calidad y Evaluación Ambiental, del Ministerio para la Transición Ecológica y el Reto Demográfico, y han sido obtenidos y se suministran en el marco del “Encargo del Ministerio para la Transición Ecológica a la Agencia Estatal Consejo Superior de Investigaciones Científicas para la detección de episodios naturales de aportes transfronterizos de partículas y otras fuentes de contaminación de material particulado, y de formación de ozono troposférico”.